

ТЕМНАЯ МАТЕРИЯ

Сухарев И.Г.

Сухарев Илья Георгиевич / Sukharev Ilya – кандидат технических наук.

Аннотация: в статье показано, что привлеченное понятие материальной темной материи как нейтральной среды распространения электромагнитных волн и среды, передающей давление электромагнитных волн непосредственно на нуклоны ядер атомов, дает позитивный результат при анализе множества гравитационных явлений. В частности, получено подтверждение наличия давления гравитационного серфинга, обеспечивающего движение Земли по орбите. Рассмотрена множественность проявлений гравитационного давления как фундаментального явления, управляющего формированием, эволюцией и движением небесных тел.

Ключевые слова: темная материя, гравитация, масса, интерференционные фокусировки, орбитальные каналы, гравитационные волны, давление электромагнитных волн, гравитационный серфинг, гравитационное давление, ротационное давление, дрейф материков.

Введение. Гипотезы и представления о «темной материи», «скрытой массе», «невидимом веществе» давно заняли свою нишу в научном дискурсе как нечто находящееся в непосредственной близости от границы познанного мира. В некоторых областях научного знания темная материя уже стала не только недостающим, но уже неотъемлемым элементом в объяснениях явлений, выпадающих из устоявшихся описаний. Таково, например, объяснение наблюдаемой аномальной скорости периферийных объектов галактик, введенное в оборот швейцарским астрономом Фрицем Цвикки (Fritz Zwicky) [1]. Несмотря на то, что проблему скоростей периферийных объектов (galaxy rotation problem) удалось решить без привлечения массы темной материи [2], это не стало поводом к отрицанию ее возможного

существования. К счастью, пока темную материю еще не постигла участь принудительного игнорирования, как это случилось с эфиром, предпримем попытку разобраться в ее свойствах, исходя из предположений, высказанных в [3]. Цикл статей [2-8] посвящен формулированию и обоснованию новой теории небесной механики, в основу которой положен примат глобальных многоволновых электромагнитных интерференций, управляющих формированием, эволюцией и движением небесных тел. Согласно теории первичным явлением, создающим условия формирования плотных небесных тел, являются интерференции бегущих волн, возникающих в теле единого волнового фронта (вселенной). Основной особенностью сформированной трехмерной интерференционной картины является образование ансамбля локальных фокусировок (локаций будущих планет), перемещающихся в пространстве вместе с центральной фокусировкой (солнцем) по спиральным траекториям. В области фокусировок создаются условия для набора и удержания молекулярных масс небесных тел, которые движутся в пространстве сообразно с движением самих фокусировок. Одновременно в области фокусировок создаются поля гравитационного давления, обусловленные давлением фокусирующихся волн. Движение небесных тел, окруженных трехмерным гравитационным давлением подобно явлению серфинга или более точно – принудительному перемещению внутри гравитационных ям. При этом, как показано в [3] на множестве примеров, масса не является источником гравитации, но выполняет функции индикатора ее наличия. Также, в [3] обосновано предположение о необходимом существовании среды распространения электромагнитных волн, состоящей из мельчайших нейтральных частиц (темной материи), способных оказывать давление на ядра атомов вещества и трансформирующих гравитационное давление в силу тяжести. Для Земли первой внешней средой, воспринимающей гравитационное давление, является атмосфера, она же является первым промежуточным звеном в частичной передаче этого давления на нижележащие слои. В [3] было

отмечено, что многоволновый характер фокусирующихся гравитационных волн формирует в области фокусировки картину, подобную стоячим волнам, что отражается в формировании 7 устойчивых широтных полос чередования зон высокого и низкого давления. Этот факт дал начало более тщательному изучению гравитационного давления, проявленного через атмосферу.

Гравитационный серфинг. Представляя небесное тело, движущееся в пространстве под управлением гравитационного серфинга, можно ожидать, что оно будет испытывать доминирующее давление со стороны, противоположной направлению своего движения. Так, например, рассматривая Землю в плоскости ее орбиты, можно ожидать, что доминирующее давление должно быть со стороны сектора 4, характеризующегося диапазоном местного времени от 18-00 до 00-00 часов, рис.1.



Рис.1 Движение Земли в плоскости ее орбиты.

Такое ожидание обусловлено тем, что постоянно действующее давление серфинга должно обеспечивать движение как по касательной к орбите Земли, так и обеспечивать центростремительную составляющую, формирующие в целом круговое движение Земли вокруг Солнца.

К сожалению, приборов прямого инструментального измерения гравитационного давления в настоящее время не существует, но можно

воспользоваться данными метеонаблюдений по атмосферному давлению. При этом необходимо купировать ряд факторов, влияющих на атмосферное давление из-за нагрева и перемещения воздушных масс. Обычные и устоявшиеся объяснения суточных колебаний атмосферного давления выглядят следующим образом [9]:

«Атмосферное давление в каждой точке земной поверхности все время меняется, либо растет, либо падает. Эти изменения давления в основном носят непериодический характер. Давление в пункте может в течение суток меняться на 20-30 мб. Запись на барографе может иметь вид волнообразной неправильной кривой. Поэтому изменения давления называют еще колебаниями давления. Суточное изменение хорошо выражено в тропиках и имеет двойной ход: два максимума (перед полуднем и перед полуночью) и два минимума (рано утром и после полудня). Суточная амплитуда может достигать 3-4 мб. От тропиков к полюсам амплитуда суточных колебаний убывает; к 60° может составлять десятые доли миллибара. Причинами суточного хода давления являются: суточный ход температуры воздуха, собственные упругие колебания атмосферы, приливные волны в атмосфере.»

Отсюда следует, что вычленить гравитационную составляющую, как постоянно действующий фактор можно путем усреднения многолетних результатов наблюдений по множеству метеостанций, расположенных около и за полярным кругом. Такое исследование было выполнено для 42 метеостанций, расположенных севернее 60° с.ш. и южнее 60° ю.ш. с шагом по долготе не более 15°. Данные были выбраны из [10] (атмосферное давление P_0 на уровне расположения станции в миллиметрах ртутного столба). Усреднение результатов производилось сначала по ежесуточным данным с 3-часовым интервалом по каждой метеостанции отдельно, по 3-4 – летним наблюдениям (везде – цикл полного года), и затем получен средний результат по всем метеостанциям, рис.2

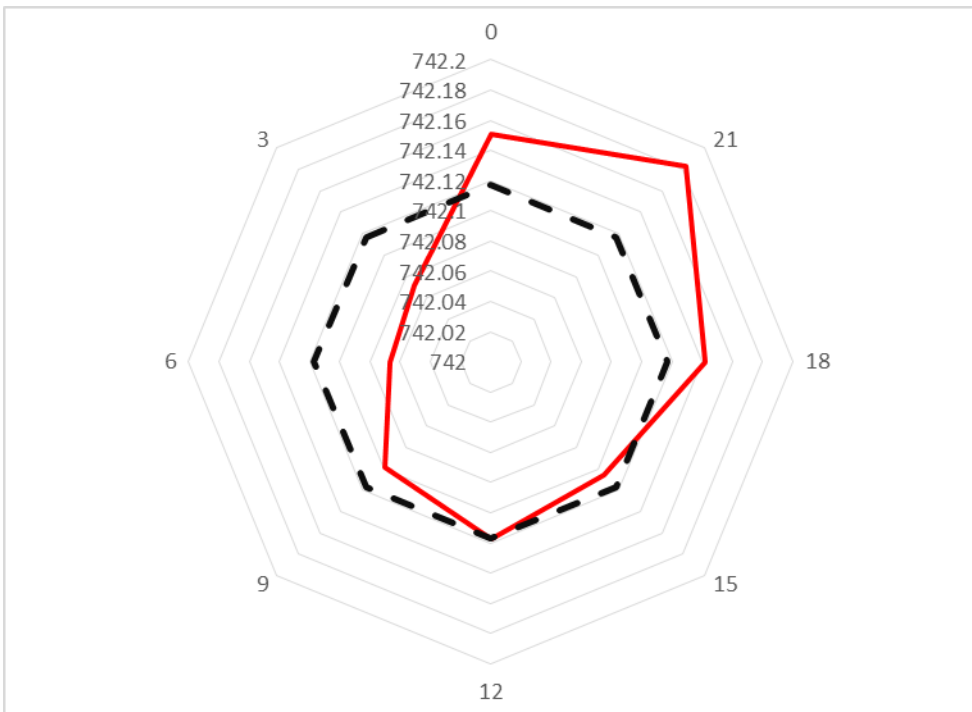


Рис.2. Усредненная диаграмма суточных изменений атмосферного давления.

На рис.2 сплошная красная линия – результат расчетов, пунктиром обозначено среднее значение. Рис.2 показывает результат, совпадающий с ожиданиями, высказанными выше, а именно – доминирование давления в секторе 4 (рис.1) в диапазоне местного времени от 18-00 до 00-00 часов. Если же рассматривать суммарно сектора 3 и 4 против 1 и 2, то их отношение дает баланс +0.0283 против -0.0283 относительно среднего уровня.

Отмечая на данном этапе, что изучаемая теория выдержала проверку фактическими наблюдениями, можно высказать ряд соображений относительно свойств темной материи (эфира), выполняющей роль в передаче давления фокусирующихся волн непосредственно на нуклоны ядер атомов, составляющих вещество планеты. Первое – давление несомненно существует, и оно является причиной того, что мы наблюдаем как силу тяжести и как причину движения-серфинга небесных тел. Второе – частицы, составляющие темную материю оказывают на ядра атомов упругое, но не разрушающее их воздействие. Третье - значительная часть частиц темной материи способна проникать сквозь молекулярные слои вещества планеты минуя взаимодействие с ядрами атомов, а результирующее давление на

вещество планеты складывается из разнонаправленного действия частиц. Важным параметром выступает при этом не просто результирующее давление, но и плотность частиц темной материи, окружающих исследуемый объект. В таком случае допустимо предположение, - человечество и биосфера Земли в основной своей массе реагируют на увеличение давления и плотности частиц темной материи в 4 секторе местного времени (18-00 – 00-00 час. с максимумом в 21-00) замедлением естественных процессов и погружением в сон.

Вращение Земли. В [6] было отмечено, что круговое движение планет внутри орбитальных каналов, собственное вращение планет, наклонение оси вращения, ориентация магнитных полюсов и многочисленные орбитальные и спин-орбитальные резонансы задаются фазовыми соотношениями волн, участвующих в солнечной интерференционной картине. Попытаемся подойти к вопросу причинности вращения Земли с тех же позиций, что были использованы при анализе явления гравитационного серфинга. Для этого рассмотрим эволюцию паттернов атмосферного давления в зависимости от географической долготы. Для анализа были взяты данные высокоширотных метеостанций, расположенных диаметрально противоположно друг другу. Зависимость давления от местного времени усреднена по массиву наблюдений за 3-4 года, а диаграммы разных точек наблюдения приведены к общему среднему. Результаты расчетов для 5 пар точек наблюдения представлены на рис.3. Первое, что следует отметить, - диаграммы распределения давления показывают нам, что для каждой пары точек максимумы лежат на одной оси и противоположно друг другу. Второе, - оси расположения максимумов вращаются синхронно со смещением по долготе. Это означает, что для каждой долготы места определены две противоположные точки местного времени, когда гравитационное давление достигает максимума. Земля оказывается зажата парами диаметрально противоположных гравитационных максимумов, которые вращаются синхронно с вращением самой Земли. Остается сделать несложный вывод о

причинах и следствиях. Разумеется, не деревья, машущие листьями, являются причиной ветра, а ветер клонит их к земле, так и в нашем случае, именно бегущие гравитационные волны закручивают и синхронизируют вращение Земли и никак иначе.

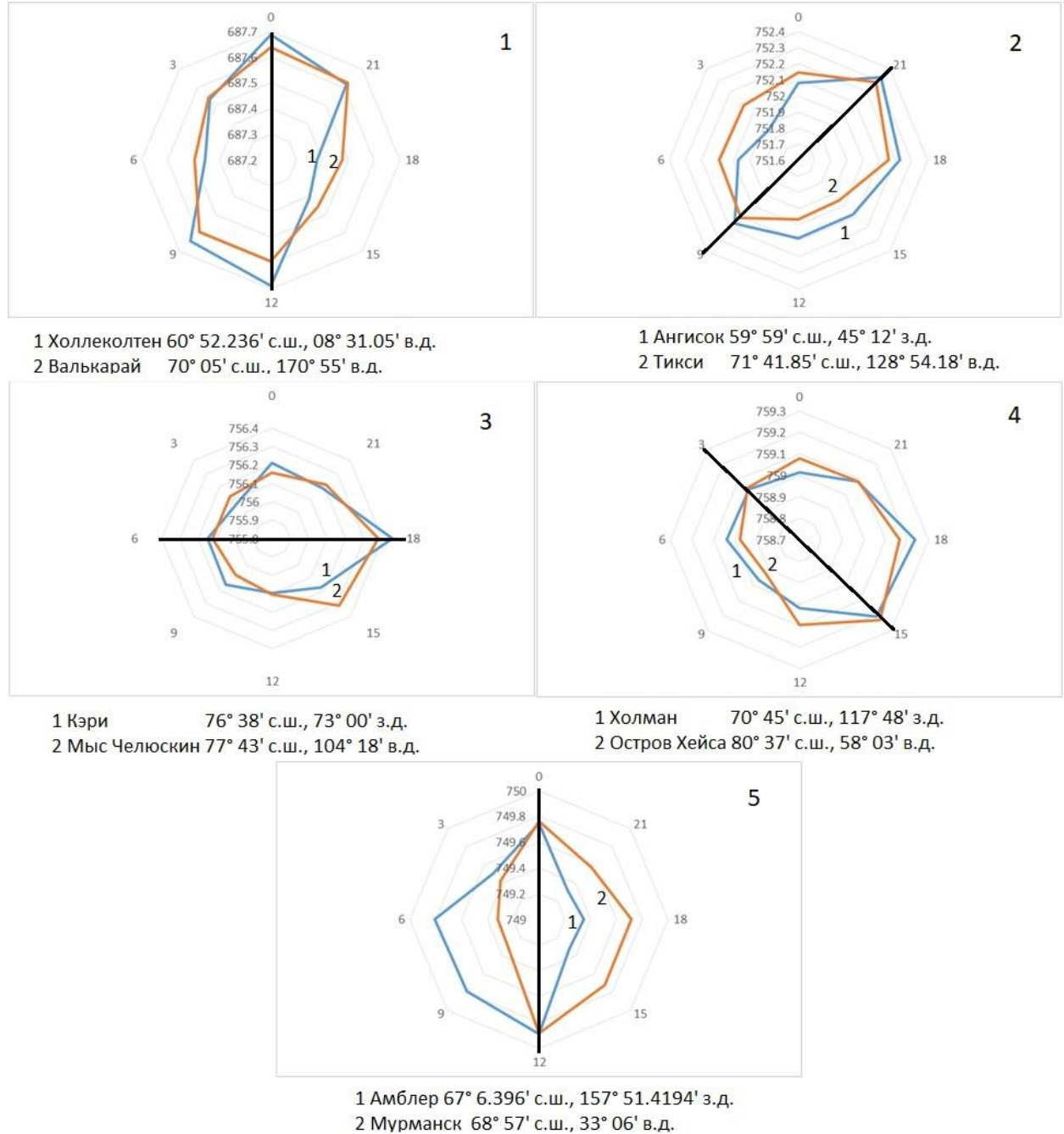


Рис.3. Суточные усредненные диаграммы давления на метеостанциях, диаметрально разнесенных по долготе.

Необходимо отметить, что выявленные процессы, - гравитационный орбитальный серфинг и гравитационная ротация присутствуют одновременно, а вычленить их раздельно позволил различно примененный

метод усреднения показаний давления, привязанных к местному времени. Существенно также, что гравитационная ротация наравне с гравитационным серфингом, гравитационными фокусировками и гравитационными орбитальными каналами есть еще одно проявление одной и той же фундаментальной силы, - гравитации.

Гравитация солнечного орбитального канала. Помимо рассмотренных действующих сил (рис.1) на Землю, равно как и на всю солнечную систему, действует давление орбитального серфинга самой солнечной системы, перемещающей ее по галактической орбите. Для Земли оно проявляется как постоянно действующее давление со стороны южного полюса. К сожалению, в данном варианте нет такого эффективного механизма регистрации давления через атмосферу, как в случае с орбитальным или ротационным давлением. Зато есть другой не менее серьезный регистрирующий фактор, а именно, - резкая диспропорция в распределении суши и воды между южным и северным полушариями в пользу северного, табл.1 [11].

| | Северное полушарие | | Южное полушарие | | Земля в целом | |
|--------------------------|--------------------|-----|-----------------|-----|---------------|-----|
| Поверхность Земного шара | в млн. кв. км | в % | в млн. кв. км | в % | в млн. кв. км | в % |
| Суша | 100 | 39 | 49 | 19 | 149 | 29 |
| Вода | 155 | 61 | 206 | 81 | 361 | 71 |
| Всего | 255 | 100 | 255 | 100 | 510 | 100 |

Табл.1 Распределение суши и воды между южным и северным полушариями.

Рассматривая распределение суши и воды на поверхности земного шара как результат действия ассиметричного гравитационного давления галактического серфинга, следует обратить внимание на результат суммарного действия давления ротационного, давления орбитального серфинга и широтной картины гравитационных стоячих волн, рассмотренных в [3]. Сначала обратим внимание на то, что на Земле

имеются сектора долготы, где максимумы ротационного давления (рис.3, диаграмма 2) совпадают по местному времени с максимумом давления орбитального серфинга (рис.2). Таким характерным сектором в восточном полушарии является 110° - 140° в.д., рис.4.

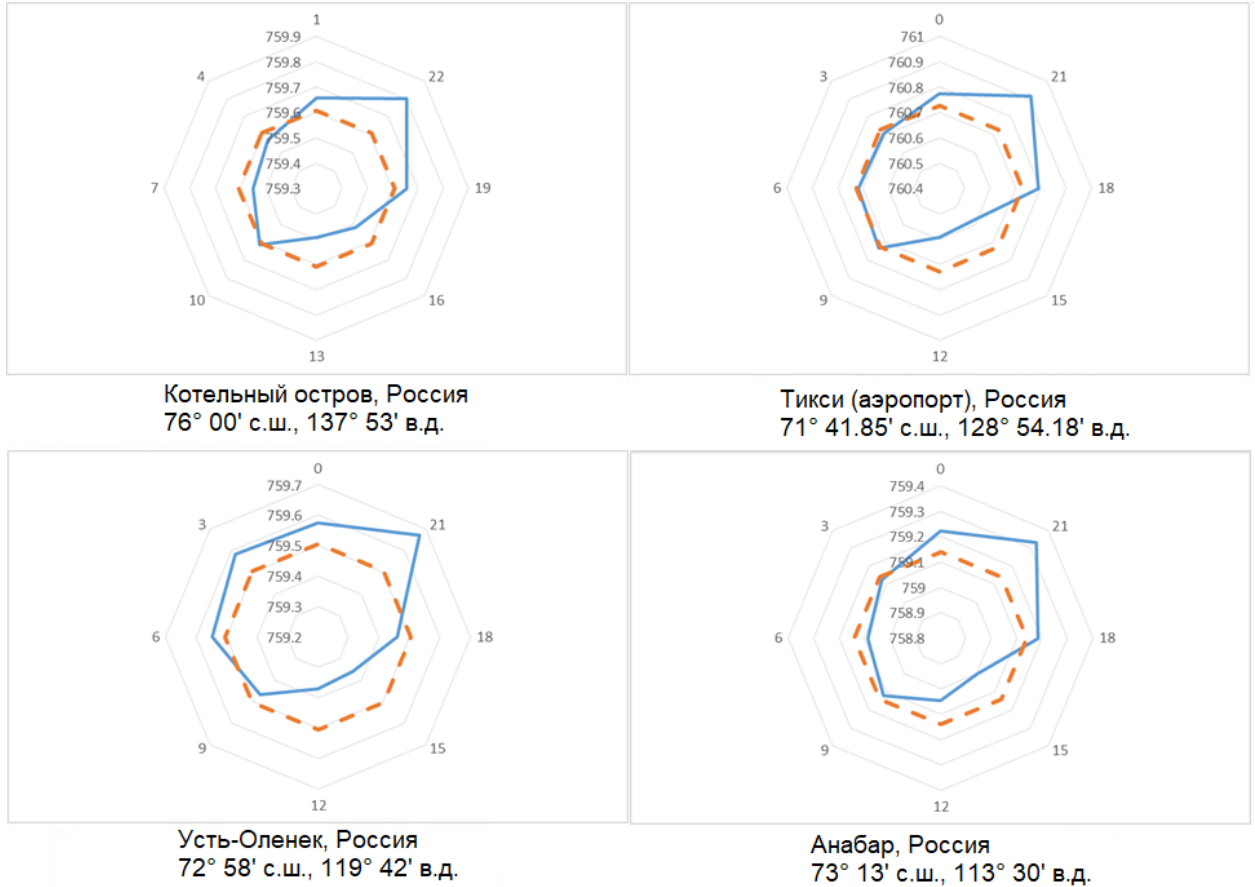


Рис.4. Сектор в.д., где наблюдается совпадение максимумов ротационного давления и давления серфинга.

Совмешая этот сектор с субтропической полосой высокого давления (около 30° с.ш.) [3], получаем область, где на нашей планете наблюдаются одновременно максимальные высоты и глубины, рис.5 [12] , рис.6 [13]

Еще раз уточним:

- Под действием галактического гравитационного давления-серфинга со стороны южного полюса наблюдаем результат в виде дрейфа основной материковой массы (а масса есть индикатор гравитации) в сторону северного полушария; дрейф в северном полушарии ослабляется и (или) прекращается в силу экранировки давления основной массой Земли.

2. Постоянно действующее гравитационное давление, осуществляющее орбитальный серфинг планеты распределено в силу ее осевого вращения равномерно, но в некоторых секторах происходит его сложение с давлением ротационным, ответственным за вращение планеты; наиболее протяженным из них является сектор 110° - 140° в.д., рис.4; направленность ротационного давления совпадает при этом с направленностью давления орбитального серфинга (с востока на запад).

3. Наложение первого и второго фактора с широтным поясом повышенного гравитационного давления в области 30° с.ш. [3] дает нам итоговую картину, рис.5,6.

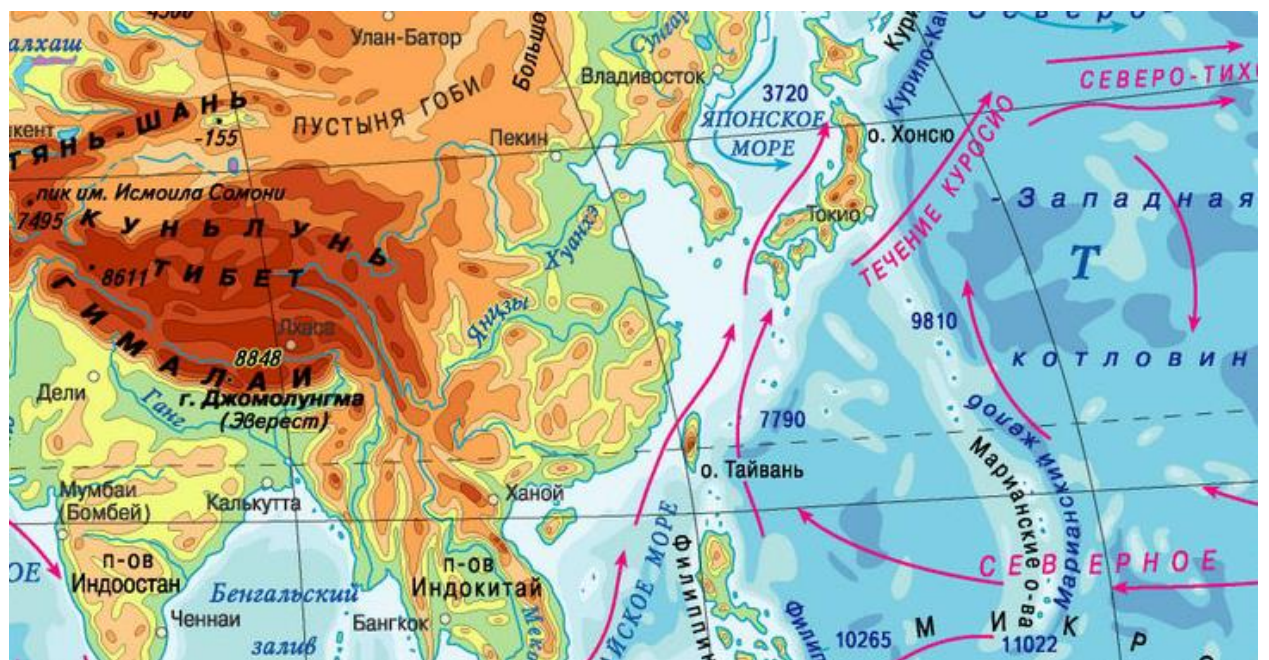


Рис.5 Область пересечения гравитационных максимумов.

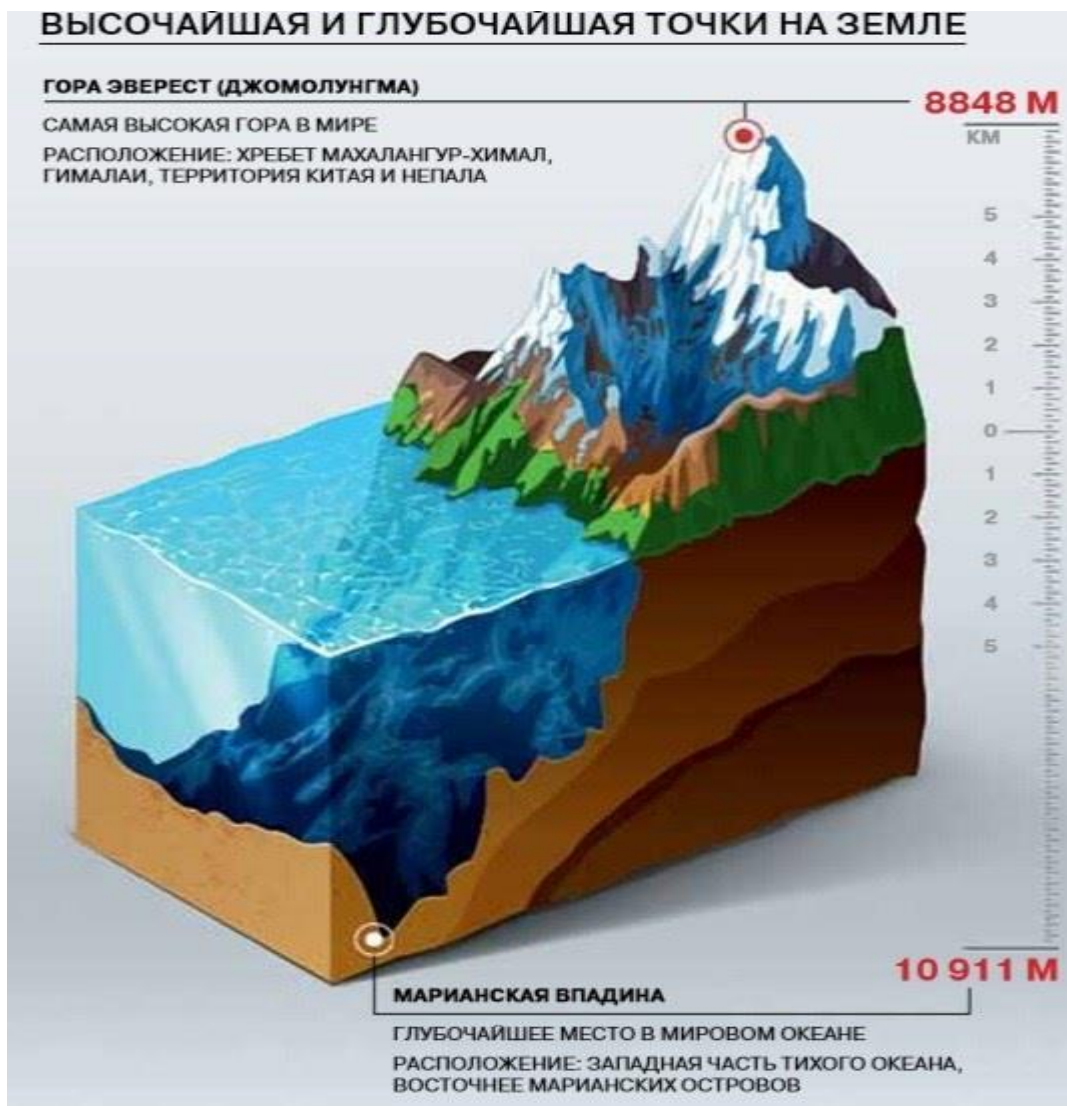


Рис.6. Марианская впадина и Эверест.

В контексте сказанного интересно также посмотреть на палеографическую реконструкцию движения Индийской плиты в северном направлении, рис.7, [14]:

«Гималаи — это не только самый высокий, но и один из самых молодых горных массивов на Земле. Они взмыли вверх, когда Индийская плита в своем движении через Индийский океан дошла до Азии и начала подлезать под нее. Взгляните еще раз на палеогеографические реконструкции и обратите внимание, где находилась индийская плита еще 65 млн лет назад. За прошедшие десятки миллионов лет она прошла путь длиной в 6 тысяч километров, двигаясь с довольно большой скоростью — 15 сантиметров в год. Если раньше ее отделял от Евразийской плиты древний океан Тетис, то примерно 40-50 млн лет назад он закрылся — две плиты пришли в соприкосновение, сминая остатки океанической коры на своем пути. То, что когда-то было океаническим дном, вдруг выпучилось вверх в месте

подползания одной плиты под другую, и превратилось в горный массив — Гималаи.»

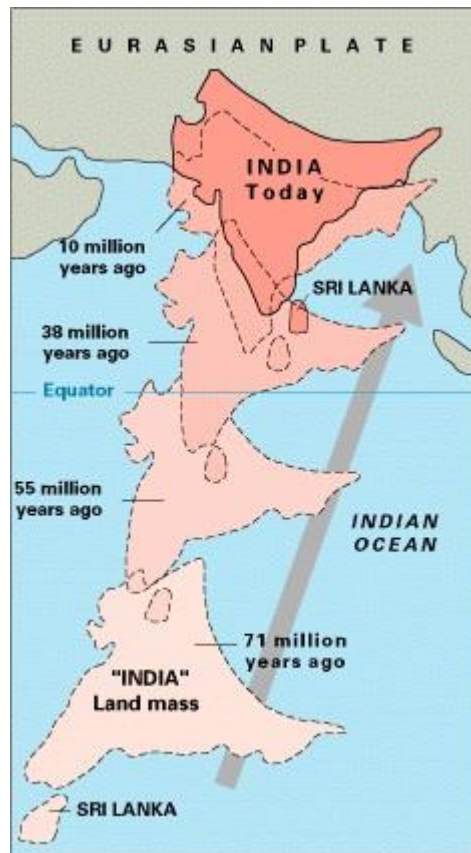


Рис.7. Палеографическая реконструкция движения Индийской плиты в северном направлении.

Рис.7 дает нам не только весьма ощутимые представления о возможностях галактического гравитационного давления, но и ясно говорит о том, что 71 миллион лет назад на Земле случилось нечто, что резко изменило динамически равновесное соотношение сил.

В завершение можно зафиксировать ряд основных результатов.

1. По результатам исследования получено подтверждение наличия теоретически ожидаемого давления гравитационного серфинга темной материи, как причины орбитального движения Земли. Подтверждена оправданность привлечения понятия материальной темной материи как нейтральной среды распространения электромагнитных волн и среды, передающей давление электромагнитных волн непосредственно на нуклоны ядер атомов.

2. Обнаружено ротационное гравитационное давление темной материи, синхронизированное с вращением Земли вокруг своей оси; высказано

утверждение что оно является как причиной вращения, так и фактором его стабилизации.

3. Давление галактического гравитационного орбитального серфинга, перемещающего солнечную систему, названо причиной диспропорции распределения массы суши Земли между южным и северным полушариями.

4. Определено, что в секторе 110° - 140° в.д. происходит усиление орбитального давления за счет односторонности с ротационным давлением и на пересечении с широтным поясом высокого давления [3] в области 30° с.ш. наблюдается самая сильная деформация земной коры, начинающаяся на востоке с Марианской впадины и переходящая в гряду горных массивов Гималаев, Тибета и Каракорума на западе.

5. Гравитационное давление, формируемое глобальными интерференциями электромагнитных волн, распространяющихся в среде темной материи, является фундаментальной причиной формирования и движения небесных тел и проявляется следующим образом:

- в виде трехмерных фокусировок, порождающих силу тяжести и окружающих планеты и Солнце;
- в виде давления серфинга, являющегося причиной орбитального движения;
- в виде ротационного давления, являющегося причиной вращения планет;
- в виде широтных планетарных поясов высокого и низкого давления [3];
- в виде концентрических орбитальных каналов [6], удерживающих в своих границах многочисленные группы астероидов и мелких спутников;
- в виде давления галактического серфинга, являющегося причиной движения солнечной системы и Земли как части системы по галактической орбите;
- в виде давления галактического серфинга, являющегося основной причиной дрейфа материков в сторону северного полушария.
- в виде суммарного галактического, орбитального и ротационного давления, являющегося причиной дрейфа материков и горообразования.

Список источников.

1. Wikipedia. Fritz Zwicky. [Electronic resource] URL: https://en.wikipedia.org/wiki/Fritz_Zwicky (date of access: 07.02.2019)
2. Сухарев И.Г. ТРЕТИЙ ЗАКОН КЕПЛЕРА // Academy. № 6(21), 2017 - C.
3. Сухарев И.Г. МАССА И ГРАВИТАЦИЯ // Academy. № 7(34), 2018 - C.
4. Сухарев И.Г. СОЛНЕЧНАЯ СИСТЕМА // Academy. № 7(22), 2017 - C.
5. Сухарев И.Г. ГРАВИТАЦИЯ // Academy. № 8(23), 2017 - C.
6. Сухарев И.Г. ОРБИТАЛЬНЫЕ КАНАЛЫ // Academy. № 1(28), 2018 - C.
7. Сухарев И.Г. ВРЕМЯ // Academy. № 10(25), 2017 - C.
8. Сухарев И.Г. ВСЕЛЕННАЯ // Academy. № 9(24), 2017 - C.
9. Суточный и годовой ход давления. [Electronic resource] URL: <http://www.geo-site.ru> (date of access: 07.02.2019)
10. Погода в мире. [Electronic resource] URL: <https://rp5.ru> (date of access: 07.02.2019)
11. Распределение суши и воды на Земном шаре. [Electronic resource] URL: <http://geo.historic.ru/gazetteer/st002.shtml> (date of access: 07.02.2019)
12. Физическая карта мира. [Electronic resource] URL: <http://obzorurokov.ru/karta-mira-na-russkom-yazyke> (date of access: 07.02.2019)
13. МЕЧТА КЭМЕРОНА. [Electronic resource] URL: <http://discovery-russia.ru/north-america/ssha/mechta-kjemerona.html> (date of access: 07.02.2019)
14. Движение континентов. [Electronic resource] URL: <https://elementy.ru/time/continents/continents-2.html> (date of access: 07.02.2019)